

МАКРОСКОПИЧЕСКОЕ КВАНТОВОЕ ТУННЕЛИРОВАНИЕ В ДЖОЗЕФСОНОВСКИХ КОНТАКТАХ

А.А.Голуб, В.П.Иордатуи

Изучено влияние диссипации на макроскопическое квантовое туннелирование в джозефсоновских контактах. Показано, что трение приводит к увеличению времени жизни метастабильного состояния контакта. Выяснено, что четкое разделение вероятности туннелирования на чисто квантовомеханическое в отсутствие трения и связанное с диссипацией возможно лишь при малом трении.

В отсутствие флуктуаций среднее постоянное напряжение на джозефсоновском контакте $\langle V \rangle = 0$, если протекающий через контакт ток I меньше критического тока I_K . Флуктуации вызывают переходы джозефсоновской разности фаз φ между соседними минимумами в потенциальной энергии контакта $U(\varphi)$ и приводят к появлению напряжения $\langle V \rangle \neq 0$ даже в случае $I < I_K$. Для высоких температур, превышающих характерную частоту осцилляций около метастабильного минимума ω_0 и при слабом трении γ вероятность преодолеть барьер пропорциональна $\exp(-\Delta U/T)$, (ΔU – высота барьера). При $T \rightarrow 0$ ($T \ll \omega_0$) и малой высоте барьера разделяющего соседние минимумы $U(\varphi)$, т.е. в случае, когда ток I близок к I_K ($\epsilon = 1 - I/I_K \ll \ll 1$) возможно квантовомеханическое туннелирование через барьер. Явление такого туннелирования по-видимому обнаружено в недавних экспериментах¹⁻⁴ на малых джозефсоновских контактах с высокой плотностью тока. Теоретически этот эффект без учета трения был предсказан Иванченко и Зильберманом⁵ (см. также более поздние работы^{4, 6}). Теория учитывающая наличие диссипации при туннелировании развита в⁷. При этом там рассматривался предел $T = 0$ и расчет был выполнен для слабого трения. Кроме того, в недавно опублико-

ванной работе ⁸ на основе модели туннелирования через параболический барьер сделан вывод об ошибочности результатов статьи ⁷. Поэтому представляет интерес исследовать вопрос о макроскопическом квантовом туннелировании более детально. Мы рассмотрим здесь случай, когда трение не слишком мало $\gamma \gtrsim \omega_0$, и покажем, что тогда простое разделение туннелирования на чисто квантовомеханическое с $\gamma = 0$ и обязанное трению неверно.

Введем необходимые обозначения. Для джозефсоновских систем $\gamma = (RC)^{-1}$, $\omega_0 = \omega_j(2e)^{1/4}$, R, C – сопротивление и емкость перехода, соответственно, $\omega_j^2 = 2\pi I_K J(\Phi_0 C)$, $\Phi_0 = 2,07 \cdot 10^{-15}$ Вб – квант потока. Теория возмущений справедлива при $\gamma \ll \omega_0$. Сопротивление R является функцией температуры ⁹:

$$R = R_N \text{ch} \frac{\Delta}{2T} \left[1 + \frac{\Delta}{8T} \ln \left(\frac{T}{V} \right)^2 \right]^{-1},$$

где R_N – сопротивление контакта в нормальном состоянии. V – малое напряжение на переходе, Δ – энергетическая щель сверхпроводящих берегов. R_N возрастает экспоненциально если $T \rightarrow 0$ ($\gamma \rightarrow 0$). Для низкоомных контактов значение γ может быть все же не малым в области температур, где возможно квантовомеханическое туннелирование.

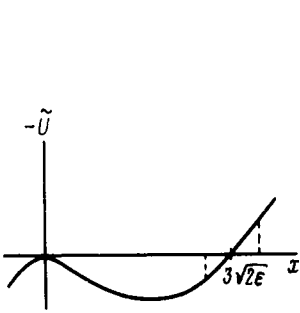


Рис. 1

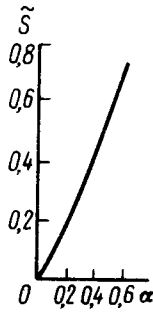


Рис. 2

Рис. 1. Зависимость потенциальной энергии (со знаком минус) от координаты x

Рис. 2. Зависимость \tilde{S} от α (где $\tilde{S} = (S_{\text{эфф}}(\alpha) - S_{\text{эфф}}(\alpha=0)) : (18 v_0 / \omega_0)$)

Расчет вероятности туннелирования проводится методом развитым в работах ^{7, 10, 11}. Амплитуда перехода вакуум – вакуум, в эвклидовой формулировке представляется через фэйнмановский интеграл по путям и будет вычислена в квазиклассическом приближении. Коэффициент трения γ свяжем с линейным взаимодействием джозефсоновского осциллятора со средой (термостатом). После усреднения по переменным термостата эффективное действие принимает вид

$$S_{\text{эфф}}(x(\tau)) = \int_{-\beta/2}^{\beta/2} d\tau \left[\frac{M}{2} \left(\frac{dx}{d\tau} \right)^2 + \frac{M\omega_j^2 \sqrt{2e}}{2} x^2(\tau) - \frac{M\omega_j^2}{6} x^3(\tau) \right] + S_1(x(\tau)), \quad (1)$$

где

$$S_1(x(\tau)) = \frac{1}{2} \int_0^\beta \int_0^\beta \tilde{\alpha}(\tau - \tau') (x(\tau) - x(\tau'))^2 d\tau d\tau',$$

$$\tilde{\alpha}(\tau) = \frac{1}{2\pi} \int_0^\infty d\omega J(\omega) \frac{\text{ch} \frac{\omega\beta}{2} (1 - 2T|\tau|)}{\text{sh}(\omega\beta/2)}, \quad M = C(\Phi/2\pi)^2, \quad \beta = 1/T.$$

$J(\omega)$ – спектральная плотность: $J(\omega) = \gamma M \omega$, при $\omega < \omega_c$, где ω_c – предельная частота ($\omega_c \gg \omega_j$). В пределе низких температур $T \rightarrow 0$: $\tilde{\alpha}(\tau) = M\gamma / (2\pi\tau^2)$, ($\tau\omega_c \gg 1$); $\alpha(0) = \gamma M \omega_c^2 / (4\pi)$.

В квазиклассическом приближении вероятность туннелирования пропорциональна $\exp(-1/\hbar S_{\text{эфф}}(x_c(\tau)))$. Траектория $x_c(\tau)$ удовлетворяет уравнению, следующему из стационарности действия (1) и граничным условиям $x_c(\tau) \rightarrow 0$ при $\tau = \pm\beta \rightarrow \infty$ и $dx(0)/d\tau = 0$ ^{10, 11}.

Точное решение $x_c(\tau)$ этого уравнения в общем случае найти не удастся. Можно, однако воспользоваться вариационным методом выбрав в качестве пробной функцию вида

$$x_c(\tau) = \sqrt{2\epsilon} a \operatorname{ch}^{-2}(\omega_j \rho \tau / 2) \quad (2)$$

с двумя параметрами a и ρ , которые находятся из условия стационарности действия. Величина a определяет правую точку поворота $x_c(0) = a\sqrt{2\epsilon}$ (см. рис. 1). Для конечных β левая точка поворота будет несколько правее, при $\beta \rightarrow \infty$ она будет стремиться к $x = 0$. В случае $S_1 = 0$, $a = 3$, $\rho = (2\epsilon)^{1/4}$. На рисунке изображена зависимость от $x(\tau)$ нормированной на величину $M\omega_0^2$ потенциальной энергии $\tilde{U}(x)$ (сумма второго и третьего слагаемых в квадратных скобках правой части формулы (1) взятой со знаком минус).

Решая систему уравнений, которой удовлетворяют вариационные параметры a , ρ , получим:

$$a = 3(1 - \alpha^2/2) \pm \frac{3}{2} \alpha \sqrt{1 - \alpha^2}; \quad \rho = 5\sqrt{2\epsilon} \left(1 - \frac{4}{15} a\right). \quad (3)$$

Здесь введены обозначения: $\alpha = 3\gamma \tilde{A}_0 / (4\omega_0)$, $\omega_0 = \omega_j (2\epsilon)^{1/4}$

$$\tilde{A}_0 = \frac{1}{4\pi} \int_{-\infty}^{\infty} \int_{-\infty}^{\infty} \frac{dt dt'}{(t-t')^2} \left(\frac{1}{\operatorname{ch}^2 t} - \frac{1}{\operatorname{ch}^2 t'} \right)^2 f\left(\frac{\omega_j \rho}{2|t-t'|}\right) \quad (4)$$

$$f(z) = \frac{1}{z\gamma M_0} \int_{-\infty}^{\infty} dx J(x, z) e^{-x} \approx 1.$$

т. е. $\tilde{A}_0 = A_0$, где A_0 — константа введенная в работе ⁷ $A_0 = \frac{12}{3} \zeta$ (3). Для выбора правильного значения a из (3) необходимо рассмотреть изменение энергии при движении системы от правой точки поворота. Энергия $E(\tau)$ определяется по формуле $E = (M/2)(dx/d\tau)^2 - U(x)$. Полное изменение энергии ΔE за время движения от правой точки поворота до вершины левого максимума ($\tau \rightarrow \infty$) (см. рис. 1) легко вычислить, при этом $\Delta E < 0$ и энергия частицы ρ при достижении левого максимума потенциальной энергии уменьшается. Для компенсации этой потери необходимо выбрать более далекую точку поворота, что соответствует решению (3) со знаком плюс. Окончательное выражение для $S_{\text{эфф}}$ принимает вид: (см. рис. 2)

$$S_{\text{эфф}} = \frac{18v_0}{\omega_0} \left(1 + \frac{\alpha}{2} (\sqrt{1 + \alpha^2} - \alpha)\right)^2 \left(\frac{2}{5} \sqrt{1 - 2\alpha\sqrt{1 + \alpha^2} - \alpha} + \alpha\right), \quad (5)$$

где введены: высота барьера $v_0 = \frac{2}{3} M \omega_j^2 (2\epsilon)^{3/2}$ и частота связанная с затуханием $\omega_\gamma = \omega_0^2 / \gamma = 2eI_K R (2\epsilon)^{1/2} / \hbar$, ($\alpha = \frac{3}{4} \omega_0 A_0 / \omega_\gamma$). Таким образом если трение не мало отсутствует четкое разделение туннелирования на квантовомеханическое и связанное с трением и имеет место уменьшение вероятности туннелирования. Это не согласуется с утверждением высказанным в работе ⁸. Доказательство авторов статьи ⁸ основано на исследовании туннелирования через параболический барьер. В этом случае вероятность туннелирования $p \sim e^{-v_0 \tau_0}$, где $\tau_0 = 2\pi / \omega_j$. Здесь трение действительно приводит к увеличению ω_j ($\omega_j \rightarrow \tilde{\omega}_j > \omega_j$) и поэтому к росту величины p . Однако для нелинейной задачи с членом x^3 в действии это не так. На самом деле в этом случае происходит перенормировка тока, который с самого начала задается для джозефсоновского элемента в среде. Поэтому перенормировочные эффекты соответствуют учету реального тока в джозефсоновском переходе.

Если $\gamma \gg \omega_0$ вместо (2) более подходящей является другая пробная функция. Из уравнения на стационарную траекторию следует:

$$\bar{x}_c(\tau) = \frac{2\tilde{\alpha}(\tau)^{\beta/2}}{M\omega_0^2} \int_{-\beta/2}^{\beta/2} \bar{x}_c(\tau') d\tau' \equiv \frac{1}{\tau^2} A, \quad x_c(\tau) = \tilde{c} \bar{x}_c(\tau).$$

Выбираем пробную функцию в виде $x_c(\tau) = \tilde{c} A / (\tau^2 + A)$ и определяя \tilde{c} из условия стационар-

ности действия. Для $S_{\text{эфф}}$ получим:

$$S_{\text{эфф}} = 4M\epsilon \pi \left(\omega_{\gamma} + \frac{\omega_0^2}{\omega_{\gamma}} \right) = \frac{3\pi v_0}{\omega_0} \left(\frac{\omega_{\gamma}}{\omega_0} + \frac{\omega_0}{\omega_{\gamma}} \right). \quad (6)$$

Таким образом основной вклад в туннелирование связан с диссипацией. Заметим, что если в формуле (5) положить $\alpha \gg 1$, то она принимает вид $\simeq 27\alpha v_0/\omega_0 \simeq 3\pi v_0/\omega_{\gamma}$ и близка к значению следующее из формулы (6). Наличие трения приводит также к перенормировке характерной частоты осцилляций ω_0 : $\omega_0 \rightarrow \tilde{\omega}_0 = \omega_{j,p} = \omega_0(1 - 2\alpha(\sqrt{1 + \alpha^2} - \alpha))^{1/2}$. Т.е. $\tilde{\omega}_0$ уменьшается. Это соответствует тому, что температура при которых существенно квантовомеханическое туннелирование также уменьшается ($T < \tilde{\omega}$).

В заключение авторы благодарят Ю.Н.Овчинникова и К.К.Лихарева за ценные критические замечания.

Литература

1. *De Bruyn Ouboter R.*, *Bol D. Physica* 1981, 107 (B+C), 965.
2. *Jackel L.D., Gordon J.P., Hu F.L., Howard R.E., Fetter L.A., Tennant D.M., Epworth R.W., Kurkijärvi J.* *Phys. Rev. Lett.*, 1981, 47, 697.
3. *Voss R.F., Webb R.A.* *Phys. Rev. Lett.*, 1981, 47, 265.
4. *Koch R.H., Harlingen van D.J., Clarce J.* *Phys. Rev. Lett.*, 1980, 45, 2132.
5. *Иванченко Ю.М., Зильберман Л.А.* *ЖЭТФ*, 1968, 55, 2395.
6. *Likharev K.K.* *Physica*, 1981, 107 (B+C), 1079.
7. *Caldeira A. D., Legget A.J.* *Phys. Rev. Lett.*, 1981, 46, 211.
8. *Widom A., Clark T.D.* *Phys. Rev. Lett.*, 1982, 48, 63.
9. *Ларкин А.И., Овчинников Ю.Н.* *ЖЭТФ*, 1967, 53, 2159.
10. *Coleman S.* *Phys. Rev.*, 1977, D15, 2929.
11. *Callan S.G. Jr, Coleman S.* *Phys. Rev.*, 1977, D16, 1762.